

ого натяжения. В отличие от ГД характеристики вещества в язом межатомного потенциала занных проблем. Однако размер иной порядка 1000 нм, которая ю и временем расчета. Тем не в МД реализуется ГД режим, что разные, характерные для

проведены расчеты образцов из льзовались в экспериментах сь в реальных масштабах анением пропорций в масштабе, ве сравнительных характеристиках а также масса выброшенного ости. Результаты МД расчетов метровые размеры, характерные еделение скорости вдоль струи чина наблюдаемого различия в ительного исследования.

## ON FROM THE SURFACE Of MOLECULAR DYNAMICS And DDYNAMICS

Zakhovskiy

ssia

ometer-sized surface perturbations cumulative jets can be generated. Surface material demonstrates that material properties, the size of ion of a jet, including the mass and fragmentation of a jet are studied

ejecta formation following by its eriments with processes having smoothed particle hydrodynamic if light on details of jet evolution perturbations, but it has problems on of molten metal. In contrast to material of interest in MD approach As a result the problems of SPH restricted much in MD. Presently, 1000 nm, depending on available dynamic regime takes place in MD

the large enough number of atoms should be used in simulation. Thus, the results of MD can be scaled to the size of real sample.

To validate such scaling the comparative MD and SPH simulations of tin and copper samples are performed with parameters similar to the used ones in experiments. Hydrodynamic simulation takes the real experimental sizes, while molecular dynamics uses the proportionally scaled sizes of samples. The obtained velocity and density profiles, and ejected mass as a function of perturbation amplitude are compared. MD demonstrates good scaling of results from tens nanometers to micron-sized samples. Particularly, it was shown that the velocity distributions along the jet in MD and SPH are in a good agreement. The observed difference in mass distribution along the jet requires further investigation.

## ЭКСПЕРИМЕНТАЛЬНАЯ СТАНЦИЯ ПО ИССЛЕДОВАНИЮ БЫСТРОПРОТЕКАЮЩИХ ПРОЦЕССОВ НА БАЗЕ КОЛЛАЙДЕРА ВЭПП-4

К.А. Тей, В.М. Титов, Г.Н. Кулипанов, В.М. Аульченко, К.Э. Купер,  
Б.П. Толочки, Э.Р. Пруузэл, А.О. Кашиков, Л.И. Шехтман, В.В. Жуланов,  
А.Н. Косов, О.В. Евдоков, М.Р. Шарафудинов

ИГИЛ СО РАН, ИЯФ СО РАН, ИХТМ СО РАН

г. Новосибирск, Россия

В 2014 году в Новосибирском научном центре введена в эксплуатацию новая станция по исследованию взрывных и ударно-волновых процессов на базе коллайдера ВЭПП-4. Комплекс проведённых работ включает:

- Установку 7-ми полюсного вигглера с магнитной индукцией 1,3 Т, источника питания вигглера (ток 3 кА), подводящие шины (400 м).
- Апробацию режимов работы ускорителя с двумя и четырьмя банчами с током по 10 мА в каждом банче с энергией до 4 ГэВ совместно с вигглером.
- Выход излучения из вигглера через биозащитную стену ускорителя в бункер СИ ВЭПП-4.
- Установку прецизионных датчиков положения в бункере СИ ВЭПП-4, которые позволили установить положение новых элементов по отношению к нулевой орбите ускорителя с точностью до 2 мкм.
- Постройку нового 8-го канала СИ и взрывной станции в конце канала..

В настоящее время станция состоит из:

- Управляемого затвора СИ на входе 8-го канала
- Монохроматора с регулируемой полосой пропускания.
- Канала СИ, диаметром 100 мм, длиной 60 м), на котором установлены: три люминофорных датчика положения пучка СИ с видеокамерами, ионизационно-позиционная камера, вакуумный насос.
- Блок формирования пучка СИ, в котором расположены: коллиматор Кратки, быстрый затвор и калибранные поглотители СИ.
- Взрывной камеры имеющей подвижные бериллиевые окна (4 мм высотой и 40 мм шириной) позволяющие выводить рассеянное излучение под углом 0 - 60 град. Каждое окно имеет по 6-ть «глушителей» ударной волны, которые позволяют взрывать в камере до 200 грамм ВВ при толщине бериллиевых окон в 2 мм. Взрывная камера также имеет 6-ть степеней свободы для

юстировки ее положения относительно луча СИ.

5.6 Блока детекторов, в котором расположены: детектор DIMEX-3, и прототип кремниевого рентгеновского детектора (с линейным разрешением 50 мкм).

5.7 Свинцовой аварийной ловушки для всех видов излучения.

На рис.1 приведен вертикальный профиль пучка СИ вблизи взрывной камеры. В горизонтальном направлении апертура ограничена шириной окон взрывной камеры (40 мм). На Рис. 2 показан сравнительный спектр на входе во взрывные камеры из ВЭПП-3 и ВЭПП-4. Сравнение спектров показывает, что на новой станции возможно измерять поглощение в более больших (по диаметру до 100 мм) зарядах взрывчатого вещества.

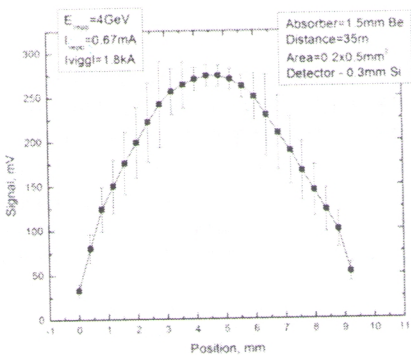


Рисунок 1. Вертикальный профиль пучка СИ на входе во взрывную камеру на ВЭПП-4

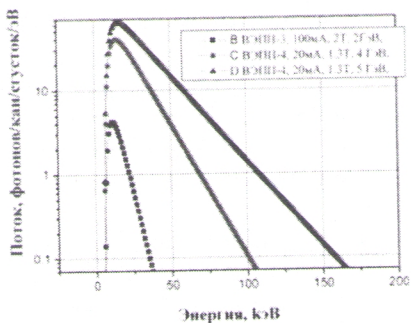


Рисунок 2. Сравнение спектров из вигглеров на ВЭПП-3 (черные точки) и ВЭПП-4 (красные точки  $E=4$  ГэВ, синие –  $E=5$  ГэВ)

Коллайдер ВЭПП-4 позволяет выдавать импульсы СИ в 8-канал с экспозицией менее 1 нс и скважностью до 125 нс.

На новой станции возможно проведение следующих динамических экспериментов:

1. Измерение распределения плотности на фронте ударной и детонационной волн.
2. Измерение динамики распределения объемной плотности, давления и поля скоростей при разлете продуктов взрыва.
3. Измерение ударных адиабат сплошных сред.
4. Измерение динамики распределения мало-углового рентгеновского рассеяния (МУРР) в ударно-волновых и детонационных процессах.

## EXPERIMENT TO ST

K.A. Ten, V.M. Titov, G.N. Kulipanov, A.O. Kashkarov, L.I. Shechtman, K.

Lavrentiev Institute of Hy  
Budker Institute of Nuclear  
Institute of Solid State Chemistry a

In 2014, they at the Novosibirsk S  
collider VEPP-4 to study explosio  
carried out include

1. the installation of the 7-pole wi  
supply for the wiggler (current of 3 k
2. testing of the operation modes of  
10 mA in each bunch) and energies o  
3. extraction of radiation from the w  
to the SR hutch of VEPP-4;
4. the installation of precision posi  
enabled positioning of the new elec  
within an accuracy of to 2 microns;
5. the construction of the new SR  
beamline.

At present, the station consists of

- 5.8 the activated SR gate at th
- 5.9 monochromator with adju
- 5.10 SR beamline with a diamete  
three phosphor sensors of SR beam p  
ionization chamber, and a vacuum pi
- 5.11 a unit for SR beam formin  
calibrated SR absorbers;
- 5.12 an explosion chamber wit  
wide), which enable extraction o  
window has 6 shock wave damp  
high explosive in the chamber wi  
explosion chamber has 6 degrees  
SR beam.
- 5.13 a unit of detectors, which  
X-ray detector (with a linear res
- 5.14 a lead emergency trap for

Fig. 1 shows the vertical profile of  
direction, the aperture is limited by  
(40 mm). Fig. 2 shows a comparativ  
VEPP-3 and VEPP-4. From the co  
enables measurement of absorption  
charges.

и детектора DIMEX-3, и прототипным разрешением 50 мкм).  
излучения.

СИ вблизи взрывной камеры, шириной окон взрывной камеры 100 мм, входит во взрывные камеры диаметром до 100 мм) зарядах взрывчатого



во взрывную камеру на ВЭПП-4



3 (черные точки)  
E=5 ГэВ)

СИ в 8-канал с экспозицией

дynamical experiments:  
 ударной и детонационной  
 плотности, давления и поля

вого рентгеновского рассеяния  
 процессах.

## EXPERIMENT STATION ON COLLIDER VEPP-4 TO STUDY FAST PROCESSES

K.A. Ten, V.M. Titov, G.N. Kulipanov, V.M. Aulchenko, K.E. Cooper, B.P. Tolochko, E.R. Priuel,  
A.O. Kashkarov, L.I. Shechtman, V.V. Zhulanov, A.N. Kosov, O.V. Evdokov, M.R. Sharafudinov

Lavrentiev Institute of Hydrodynamics of SB RAS, Novosibirsk, Russia

Budker Institute of Nuclear Physics of SB RAS, 630090, Novosibirsk, Russia

Institute of Solid State Chemistry and Mechanochemistry of SB RAS, Novosibirsk, Russia

In 2014, they at the Novosibirsk Scientific Center commissioned a new station on the collider VEPP-4 to study explosion and shock-wave processes. The respective works carried out include

1. the installation of the 7-pole wiggler with a magnetic flux density of 1.3 T, a power supply for the wiggler (current of 3 kA), and supply buses (400 m);
2. testing of the operation modes of the accelerator with two and four bunches (a current of 10 mA in each bunch) and energies of up to 4 GeV, together with the wiggler;
3. extraction of radiation from the wiggler through the bioprotective wall of the accelerator to the SR hutch of VEPP-4;
4. the installation of precision position sensors in the SR hutch of VEPP-4; the sensors enabled positioning of the new elements with respect to the zero orbit of the accelerator within an accuracy of to 2 microns;
5. the construction of the new SR beamline 8 and explosion station at the end of the beamline.

At present, the station consists of

- 5.8 the activated SR gate at the entrance of beamline 8;
- 5.9 monochromator with adjustable bandwidth;
- 5.10 SR beamline with a diameter of 100 mm and a length 60 m, which accommodates three phosphor sensors of SR beam position with video cameras, a position-sensitive ionization chamber, and a vacuum pump;
- 5.11 a unit for SR beam forming, which houses a Kratky collimator, a fast shutter and calibrated SR absorbers;
- 5.12 an explosion chamber with movable beryllium windows (4 mm high and 40 mm wide), which enable extraction of scattered radiation at an angle of 0 to 60 degrees; each window has 6 shock wave dampers and makes it possible to blast up to 200 grams of high explosive in the chamber with the thickness of the beryllium windows of 2 mm; the explosion chamber has 6 degrees of freedom for adjustment of its position relative to the SR beam;
- 5.13 a unit of detectors, which houses a DIMEX-3 detector and a prototype of silicon X-ray detector (with a linear resolution of 50 microns);
- 5.14 a lead emergency trap for all types of radiation.

Fig. 1 shows the vertical profile of SR beam near the explosion chamber. In the horizontal direction, the aperture is limited by the width of the windows of the explosion chamber (40 mm). Fig. 2 shows a comparative spectrum at the entrance to the explosion chambers of VEPP-3 and VEPP-4. From the comparison of the spectra it follows that the new station enables measurement of absorption in larger (up to 100 mm in diameter) high-explosive charges.

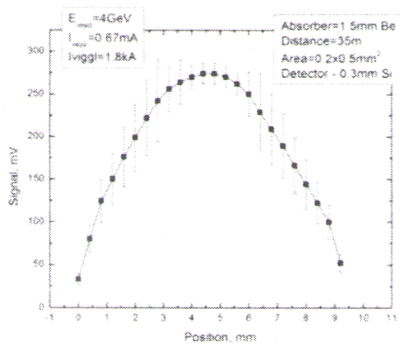


Figure 1. Vertical profile of SR beam at the entrance to the explosion chamber at VEPP-4

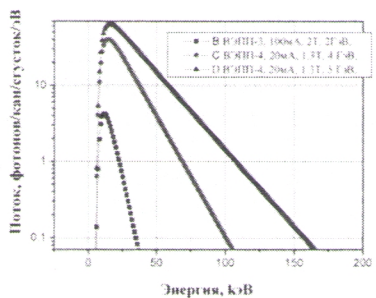


Figure 2. Comparison of spectra from wigglers at VEPP-3 (black dots) and VEPP-4 (red dots; E=4 GeV; blue dots; E=5 GeV)

Collider VEPP-4 enables generation of SR pulses (exposure time below 1 ns and an interval between pulses of up to 125 ns) to SR beamline 8.

The following dynamic experiments can be carried out at the new station:

5. measurement of density distribution in the fronts of shock and detonation waves;
6. measurement of dynamical distribution of bulk density, pressure and velocity field in spread of explosion products;
7. measurement of shock adiabats of continuous media;
8. measurement of dynamical distribution of small-angle X-ray scattering (SAXS) in shock-wave and detonation processes.

### ЭКСПЕРИМЕНТАЛЬНЫЙ МОДУЛЬ ДЛЯ ИССЛЕДОВАНИЯ ТЕПЛОВЫХ ПРОЦЕССОВ В ЭНЕРГЕТИЧЕСКИХ МАТЕРИАЛАХ

С.Г. Андреев, Д.В. Гелин, С.В. Гелина,  
Д.А. Лысов, В.А. Марков, В.В. Селиванов

МГТУ им. Н.Э. Баумана,  
г. Москва, Россия

Экспериментальный модуль исследования тепловых процессов (ИТП) входит в структуру «Научно-экспериментального комплекса кафедры СМ4 МГТУ им. Н.Э. Баумана».

К модулю ИТП относятся осциллографы Tektronix TDS 2000, пульт управления, а также шасси SMART Board.

Исследования происходят через пульт управления на устройстве, затем обрабатывается встроенный принтер HP LaserJet и мультимедиа результатов экспериментов.

С помощью модуля ИТП при тепловых воздействиях на начальной стадии развития реакции выражается в реакционных спектрах. Модуль ИТП позволяет внешних тепловых воздействий интервалом в 0,001 с, а также изучение динамики тепловых процессов. Данный модуль автономен в режиме реального времени, позволяет вести в реальном времени процесса с такой подробностью как на компьютере, так и вывести на экран.

Модуль ИТП помогает в условиях явления возбуждения вновь разрабатываемых, что важно для подготовки специалистов.

### AN EXPERIMENTAL MODULE FOR STUDYING HEAT PROCESSSES

S.G. Andreev, D.V. Gelin, S.

Bauman Moscow S

An experimental unit for studying heat processes is a part of the "BMSTU SM4 research complex".

The TPEM unit comprises: 2024C and AKTAKOM ASK-3117 HP LaserJet colour printer and a SMART Board device.

The research proper takes place through the control panel to be processed with a computer that is connected to the SMART Board device.

The TPEM unit allows us to study how an explosive charge is being subjected to external thermal load during the reaction development stage, up to the reaction capacity of the explosive.

The TPEM unit makes it possible to study how an explosive is subjected to external thermal load.